

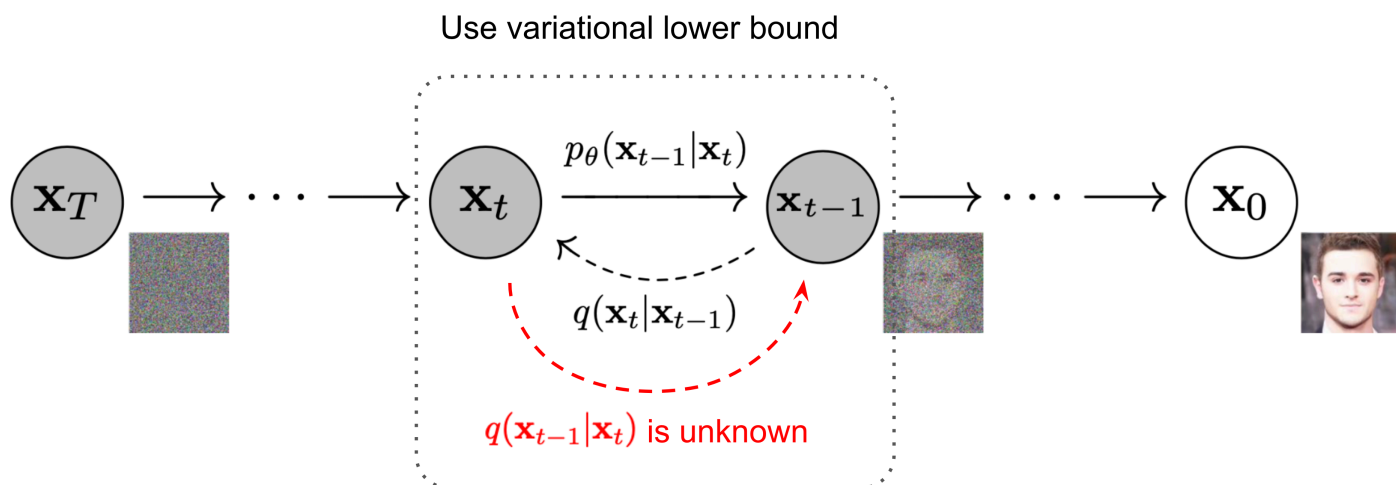
# 扩散模型之DDPM

一篇视角相似的论文：[Denoising Diffusion Probabilistic Models in Six Simple Steps](#)

生成模型包括GAN，VAE，Flow-based和Diffusion等

- GAN将数据生成这一无监督任务建模为一个有监督任务，但是问题在于不稳定的训练和生成结果多样性差
- VAE依赖于代理损失，通过最大化ELBO来间接最大化数据的似然
- Flow-based直接学习数据的分布，但是其结构需要精心设计来构建可逆变换
- Diffusion来源于非平衡热力学
- 与VAE和Flow-based不同，Diffusion通过一个固定的procedure学习（相较于Flow-based）并且中间变量具有高维度（应该是和VAE比较，Flow-based应该是不降维的？是不降维的）

正态分布的性质



## Forward diffusion process

参考：[生成扩散模型漫谈（一）：DDPM = 拆楼 + 建楼](#)，按照DDPM的记法重写了推导

首先，我们假定前向过程 $q(\mathbf{x}_{1:T}|\mathbf{x}_0)$ 和反向过程 $p_\theta(\mathbf{x}_{0:T})$ 都是一阶马尔可夫过程，即

$$q(\mathbf{x}_{1:T}|\mathbf{x}_0) := \prod_{t=1}^T q(\mathbf{x}_t|\mathbf{x}_{t-1})$$

$$p_\theta(\mathbf{x}_{0:T}) := p(\mathbf{x}_T) \prod_{t=1}^T p_\theta(\mathbf{x}_{t-1}|\mathbf{x}_t)$$

给定真实数据 $\mathbf{x}_0 \sim q(\mathbf{x})$ ，在第 $t$ 步引入加性高斯噪声（Additive Gaussian noise，噪声直接加在原始信号上，原始信号不一定是高斯的） $\mathcal{N}(\mathbf{0}, \beta_t \mathbf{I})$ 的前向过程为一个线性高斯变换

$$\mathbf{x}_t = \sqrt{\alpha_t} \mathbf{x}_{t-1} + \sqrt{\beta_t} \epsilon_t, \quad \epsilon_t \sim \mathcal{N}(\mathbf{0}, \mathbf{I}) \quad (1)$$

- 多元高斯分布的线性高斯变换，[来源](#)

$$\mathbf{x} \sim \mathcal{N}(\mu, \Sigma)$$

$$\Rightarrow \mathbf{Ax} + \mathbf{b} \sim \mathcal{N}(\mathbf{A}\mu + \mathbf{b}, \mathbf{A}\Sigma\mathbf{A}^\top)$$

- 重参数化技巧

$$\mathbf{z} \sim q_\phi(\mathbf{z}|\mathbf{x}^{(i)}) = \mathcal{N}(\mathbf{z}; \mu^{(i)}, \sigma^{2(i)} \mathbf{I})$$

$$\mathbf{z} = \mu + \sigma \odot \epsilon, \text{ where } \epsilon \sim \mathcal{N}(\mathbf{0}, \mathbf{I}) \quad ; \text{ Reparameterization trick.}$$

当前的限制条件只有 $\alpha_t, \beta_t > 0$ ， $\epsilon_t$ 则是引入的噪声

- 可以描述为， $\mathbf{x}_t$ 通过将 $\mathbf{x}_{t-1}$ 缩放并引入加性高斯噪声得到， $\alpha_t$ 也开根号是为了便于后续推导
- 概率的等价表述为

$$q(\mathbf{x}_t|\mathbf{x}_{t-1}) = \mathcal{N}(\mathbf{x}_t; \sqrt{\alpha_t} \mathbf{x}_{t-1}, \beta_t \mathbf{I})$$

通过反复迭代这一分解，可以用 $\mathbf{x}_0$ 噪声来表示所有任意时刻的 $\mathbf{x}_t$

$$\begin{aligned}\mathbf{x}_t &= \sqrt{\alpha_t} \mathbf{x}_{t-1} + \sqrt{\beta_t} \epsilon_t \\ &= \sqrt{\alpha_t} (\sqrt{\alpha_{t-1}} \mathbf{x}_{t-2} + \sqrt{\beta_{t-1}} \epsilon_{t-1}) + \sqrt{\beta_t} \epsilon_t \\ &= \dots \\ &= \sqrt{\alpha_t} \dots \alpha_1 \mathbf{x}_0 + \underbrace{\sqrt{\alpha_t} \dots \alpha_2 \sqrt{\beta_1} \epsilon_1 + \sqrt{\alpha_t} \dots \alpha_3 \sqrt{\beta_2} \epsilon_2 + \dots + \sqrt{\alpha_t} \sqrt{\beta_{t-1}} \epsilon_{t-1} + \sqrt{\beta_t} \epsilon_t}_{\text{多个相互独立的正态噪声之和}}\end{aligned}\tag{2}$$

后一项多个相互独立的正态分布之和构成了均值为0，方差为 $(\alpha_t \dots \alpha_2) \beta_1 + (\alpha_t \dots \alpha_3) \beta_2 + \dots + \alpha_t \beta_{t-1} + \beta_t$ 的正态分布

- 两个**独立**多元正态随机向量的和分布仍然是正态分布，[来源](#)

$$\begin{aligned}\mathbf{x} &\sim \mathcal{N}(\mu_{\mathbf{x}}, \Sigma_{\mathbf{x}}), \mathbf{y} \sim \mathcal{N}(\mu_{\mathbf{y}}, \Sigma_{\mathbf{y}}) \\ \Rightarrow \mathbf{x} + \mathbf{y} &\sim \mathcal{N}(\mu_{\mathbf{x}} + \mu_{\mathbf{y}}, \Sigma_{\mathbf{x}} + \Sigma_{\mathbf{y}})\end{aligned}$$

- 概率的等价表述为

$$q(\mathbf{x}_{1:T} | \mathbf{x}_0) = \prod_{t=1}^T q(\mathbf{x}_t | \mathbf{x}_{t-1})$$

此时，只要 $\alpha_t + \beta_t = 1$ 即 $\alpha_t = 1 - \beta_t$ ，就有

$$(\alpha_t \dots \alpha_1) + (\alpha_t \dots \alpha_2) \beta_1 + (\alpha_t \dots \alpha_3) \beta_2 + \dots + \alpha_t \beta_{t-1} + \beta_t = 1\tag{3}$$

这意味着满足上述条件就能够很容易地通过所有 $\alpha_t$ 来计算后面形成的正态分布的方差，即

$$\mathbf{x}_t = \underbrace{\sqrt{\alpha_t \dots \alpha_1} \mathbf{x}_0}_{\text{记为}\sqrt{\bar{\alpha}_t}} + \underbrace{\sqrt{1 - (\alpha_t \dots \alpha_1)}}_{\text{记为}\sqrt{1 - \bar{\alpha}_t}} \bar{\epsilon}_t, \quad \bar{\epsilon}_t \sim \mathcal{N}(\mathbf{0}, \mathbf{I})\tag{4}$$

- $\bar{\alpha}_t = \prod_{i=1}^t \alpha_i$
- 概率的等价表述为

$$q(\mathbf{x}_t | \mathbf{x}_0) = \mathcal{N}(\mathbf{x}_t; \sqrt{\bar{\alpha}_t} \mathbf{x}_0, (1 - \bar{\alpha}_t) \mathbf{I})$$

总结而言， $\beta_t$ 表征了噪声的程度，而 $\alpha_t$ 则是为了保持系数平方和为1，以便快速算出每个时间步所上生成样本而引入的

通常随着加噪声的进行，可以逐渐加入更多的噪声，即 $\beta_1 < \beta_2 < \dots < \beta_T$ ，也即 $\bar{\alpha}_1 > \dots > \bar{\alpha}_T$

- 这里源自lilianweng的post，但是有点问题， $\bar{\alpha}_t$ 本来就应该应该是单调递减的，这里本来想要表达的可能是 $\alpha_1 > \dots > \alpha_T$
- 当 $\bar{\alpha}_t \approx 0$ 时就可以认为前向过程已经完成了

## Reverse diffusion process

为了从噪声 $\mathbf{x}_T \sim \mathcal{N}(\mathbf{0}, \mathbf{I})$ 中还原出样本，需要知道分布 $q(\mathbf{x}_{t-1} | \mathbf{x}_t)$ ，但是 $q(\mathbf{x}_{t-1} | \mathbf{x}_t)$ 难以得到（需要整个数据集来统计），因此通过神经网络来拟合这些反向过程的条件概率

- 一开始就有个结论，如果 $\beta_t$ 足够小，那么 $q(\mathbf{x}_{t-1} | \mathbf{x}_t)$ 也将是个高斯分布，这是为什么？
  - [DPM论文](#)中2.2节开头引用了经证明的结论，如果扩散过程是高斯过程或者二项过程，那么对于连续扩散过程（即扩散步长 $\beta$ 足够小），逆向扩散过程和前向扩散过程有着同样的函数形式
  - 对DDPM而言，前向过程 $q(\mathbf{x}_t | \mathbf{x}_{t-1})$ 服从高斯分布，因此如果 $\beta_t$ 足够小， $q(\mathbf{x}_{t-1} | \mathbf{x}_t)$ 就会是个高斯分布

我们可以用模型 $p_\theta$ 来拟合条件分布 $q(\mathbf{x}_{t-1} | \mathbf{x}_t)$ ，即减小 $p_\theta(\mathbf{x}_{t-1} | \mathbf{x}_t)$ 和 $q(\mathbf{x}_{t-1} | \mathbf{x}_t)$ 的分布差异，由于 $q(\mathbf{x}_{t-1} | \mathbf{x}_t)$ 是个高斯分布，所以可以将 $p_\theta(\mathbf{x}_{t-1} | \mathbf{x}_t)$ 建模为高斯分布

$$p_\theta(\mathbf{x}_{0:T}) = p(\mathbf{x}_T) \prod_{t=1}^T p_\theta(\mathbf{x}_{t-1} | \mathbf{x}_t) \quad p_\theta(\mathbf{x}_{t-1} | \mathbf{x}_t) = \mathcal{N}(\mathbf{x}_{t-1}; \mu_\theta(\mathbf{x}_t, t), \Sigma_\theta(\mathbf{x}_t, t)) \quad p(\mathbf{x}_T) = \mathcal{N}(\mathbf{x}_T; \mathbf{0}, \mathbf{I})$$

这里回顾一下生成模型的目标，是要最大化 $p_\theta(\mathbf{x}_0)$ ，我们的假设是，在Diffusion的稳态过程中，只要能够让每步的反向过程能够还原前向过程对应步的变换，就可以从噪声 $\mathbf{x}_T$ 中还原出样本 $\mathbf{x}_0$ ，而正向过程已经确定，所以只要让网络 $p_\theta$ 拟合好 $q(\mathbf{x}_{t-1} | \mathbf{x}_t)$ 就足够了

因此，我们可以从分布差异出发，推导出它和样本分布的关系，寻找最大化 $p_\theta(\mathbf{x}_0)$ 的变分下界

然而这里的 $q(\mathbf{x}_{t-1} | \mathbf{x}_t)$ 无法计算，从而无法算出分布差异

解决办法在于，由于Diffusion所假设的一阶马尔可夫性，当 $t > 1$ 时，我们有

$$q(\mathbf{x}_t | \mathbf{x}_{t-1}) = q(\mathbf{x}_t | \mathbf{x}_{t-1}, \mathbf{x}_0) = \frac{q(\mathbf{x}_{t-1} | \mathbf{x}_t, \mathbf{x}_0) q(\mathbf{x}_t | \mathbf{x}_0)}{q(\mathbf{x}_{t-1} | \mathbf{x}_0)}$$

$$\Rightarrow q(\mathbf{x}_{t-1}|\mathbf{x}_t, \mathbf{x}_0) = \frac{q(\mathbf{x}_t|\mathbf{x}_{t-1})q(\mathbf{x}_{t-1}|\mathbf{x}_0)}{q(\mathbf{x}_t|\mathbf{x}_0)}$$

从而分布差异可以使用  $D_{KL}(q(\mathbf{x}_{t-1}|\mathbf{x}_t, \mathbf{x}_0) \parallel p_\theta(\mathbf{x}_{t-1}|\mathbf{x}_t))$  来刻画

于是我们可以计算  $t \geq 1$  时的分布差异之和

$$D_{KL} = \sum_{t=2}^T \mathbb{E}_{q(\mathbf{x}_t|\mathbf{x}_0)} D_{KL}(q(\mathbf{x}_{t-1}|\mathbf{x}_t, \mathbf{x}_0) \parallel p_\theta(\mathbf{x}_{t-1}|\mathbf{x}_t)) + D_{KL}(q(\mathbf{x}_0|\mathbf{x}_1) \parallel p_\theta(\mathbf{x}_0|\mathbf{x}_1))$$

- 为什么这里是求和呢？一种解释是每一项是独立的，直接加起来不影响最优解；另一种技巧上的解释是可以裂项相消

后一项不可解，所以只能放弃这一约束，先看前一项的推导

$$\begin{aligned} & \sum_{t=2}^T \mathbb{E}_{q(\mathbf{x}_t|\mathbf{x}_0)} D_{KL}(q(\mathbf{x}_{t-1}|\mathbf{x}_t, \mathbf{x}_0) \parallel p_\theta(\mathbf{x}_{t-1}|\mathbf{x}_t)) \\ &= \sum_{t=2}^T \mathbb{E}_{q(\mathbf{x}_t|\mathbf{x}_0)} \mathbb{E}_{q(\mathbf{x}_{t-1}|\mathbf{x}_t, \mathbf{x}_0)} \log \frac{q(\mathbf{x}_{t-1}|\mathbf{x}_t, \mathbf{x}_0)}{p_\theta(\mathbf{x}_{t-1}|\mathbf{x}_t)} \\ &= \sum_{t=2}^T \int_{\mathbf{x}_t} q(\mathbf{x}_t|\mathbf{x}_0) \int_{\mathbf{x}_{t-1}} q(\mathbf{x}_{t-1}|\mathbf{x}_t, \mathbf{x}_0) \log \frac{q(\mathbf{x}_{t-1}|\mathbf{x}_t, \mathbf{x}_0)}{p_\theta(\mathbf{x}_{t-1}|\mathbf{x}_t)} d\mathbf{x}_t d\mathbf{x}_{t-1} \\ &= \sum_{t=2}^T \int_{\mathbf{x}_t} \int_{\mathbf{x}_{t-1}} q(\mathbf{x}_t|\mathbf{x}_0) q(\mathbf{x}_{t-1}|\mathbf{x}_t, \mathbf{x}_0) \log \frac{q(\mathbf{x}_{t-1}|\mathbf{x}_t, \mathbf{x}_0)}{p_\theta(\mathbf{x}_{t-1}|\mathbf{x}_t)} d\mathbf{x}_t d\mathbf{x}_{t-1} \\ &= \sum_{t=2}^T \int_{\mathbf{x}_t} \int_{\mathbf{x}_{t-1}} q(\mathbf{x}_t, \mathbf{x}_{t-1}|\mathbf{x}_0) \log \frac{q(\mathbf{x}_{t-1}|\mathbf{x}_t, \mathbf{x}_0)}{p_\theta(\mathbf{x}_{t-1}|\mathbf{x}_t)} d\mathbf{x}_t d\mathbf{x}_{t-1} \quad (*) \\ &= \sum_{t=2}^T \mathbb{E}_{q(\mathbf{x}_t, \mathbf{x}_{t-1}|\mathbf{x}_0)} \log \frac{q(\mathbf{x}_{t-1}|\mathbf{x}_t, \mathbf{x}_0)}{p_\theta(\mathbf{x}_{t-1}|\mathbf{x}_t)} \\ &= \sum_{t=2}^T \int_{\mathbf{x}_t} \int_{\mathbf{x}_{t-1}} \left( \int_{\mathbf{x}_1} \cdots \int_{\mathbf{x}_{t-2}} \int_{\mathbf{x}_{t+1}} \cdots \int_{\mathbf{x}_T} q(\mathbf{x}_{1:T}|\mathbf{x}_0) d\mathbf{x}_1 \cdots d\mathbf{x}_{t-2} d\mathbf{x}_{t+1} \cdots d\mathbf{x}_T \right) \log \frac{q(\mathbf{x}_{t-1}|\mathbf{x}_t, \mathbf{x}_0)}{p_\theta(\mathbf{x}_{t-1}|\mathbf{x}_t)} d\mathbf{x}_t d\mathbf{x}_{t-1} \quad \text{continue from } (*) \\ &= \sum_{t=2}^T \int_{\mathbf{x}_{1:T}} q(\mathbf{x}_{1:T}|\mathbf{x}_0) \log \frac{q(\mathbf{x}_{t-1}|\mathbf{x}_t, \mathbf{x}_0)}{p_\theta(\mathbf{x}_{t-1}|\mathbf{x}_t)} d\mathbf{x}_{1:T} \\ &= \sum_{t=2}^T \mathbb{E}_{q(\mathbf{x}_{1:T}|\mathbf{x}_0)} \log \frac{q(\mathbf{x}_{t-1}|\mathbf{x}_t, \mathbf{x}_0)}{p_\theta(\mathbf{x}_{t-1}|\mathbf{x}_t)} \\ &= \mathbb{E}_{q(\mathbf{x}_{1:T}|\mathbf{x}_0)} \sum_{t=2}^T \log \frac{q(\mathbf{x}_{t-1}|\mathbf{x}_t, \mathbf{x}_0)}{p_\theta(\mathbf{x}_{t-1}|\mathbf{x}_t)} \\ &= \mathbb{E}_{q(\mathbf{x}_{1:T}|\mathbf{x}_0)} \sum_{t=2}^T \log \frac{q(\mathbf{x}_t|\mathbf{x}_{t-1})q(\mathbf{x}_{t-1}|\mathbf{x}_0)}{p_\theta(\mathbf{x}_{t-1}|\mathbf{x}_t)q(\mathbf{x}_t|\mathbf{x}_0)} \\ &= \mathbb{E}_{q(\mathbf{x}_{1:T}|\mathbf{x}_0)} \sum_{t=2}^T \left( \log \frac{q(\mathbf{x}_t|\mathbf{x}_{t-1})}{p_\theta(\mathbf{x}_{t-1}|\mathbf{x}_t)} + \log \frac{q(\mathbf{x}_{t-1}|\mathbf{x}_0)}{q(\mathbf{x}_t|\mathbf{x}_0)} \right) \\ &= \mathbb{E}_{q(\mathbf{x}_{1:T}|\mathbf{x}_0)} \left( \sum_{t=2}^T \log \frac{q(\mathbf{x}_t|\mathbf{x}_{t-1})}{p_\theta(\mathbf{x}_{t-1}|\mathbf{x}_t)} + \log \frac{q(\mathbf{x}_1|\mathbf{x}_0)}{q(\mathbf{x}_T|\mathbf{x}_0)} \right) \\ &= \mathbb{E}_{q(\mathbf{x}_{1:T}|\mathbf{x}_0)} \left( \log \frac{q(\mathbf{x}_{1:T}|\mathbf{x}_0)}{p_\theta(\mathbf{x}_{0:T})} - \log \frac{q(\mathbf{x}_1|\mathbf{x}_0)}{p_\theta(\mathbf{x}_T)p_\theta(\mathbf{x}_0|\mathbf{x}_1)} + \log \frac{q(\mathbf{x}_1|\mathbf{x}_0)}{q(\mathbf{x}_T|\mathbf{x}_0)} \right) \\ &= \mathbb{E}_{q(\mathbf{x}_{1:T}|\mathbf{x}_0)} \left( \log \frac{q(\mathbf{x}_{1:T}|\mathbf{x}_0)}{p_\theta(\mathbf{x}_{0:T})} + \log p_\theta(\mathbf{x}_0|\mathbf{x}_1) - \log \frac{q(\mathbf{x}_T|\mathbf{x}_0)}{p_\theta(\mathbf{x}_T)} \right) \\ &= \mathbb{E}_{q(\mathbf{x}_{1:T}|\mathbf{x}_0)} \left( -\log p_\theta(\mathbf{x}_0) + \log \frac{q(\mathbf{x}_{1:T}|\mathbf{x}_0)}{p_\theta(\mathbf{x}_{1:T}|\mathbf{x}_0)} + \log p_\theta(\mathbf{x}_0|\mathbf{x}_1) - \log \frac{q(\mathbf{x}_T|\mathbf{x}_0)}{p_\theta(\mathbf{x}_T)} \right) \\ &= -\log p_\theta(\mathbf{x}_0) + \mathbb{E}_{q(\mathbf{x}_{1:T}|\mathbf{x}_0)} \log \frac{q(\mathbf{x}_{1:T}|\mathbf{x}_0)}{p_\theta(\mathbf{x}_{1:T}|\mathbf{x}_0)} + \mathbb{E}_{q(\mathbf{x}_1|\mathbf{x}_0)} \log p_\theta(\mathbf{x}_0|\mathbf{x}_1) - \mathbb{E}_{q(\mathbf{x}_T|\mathbf{x}_0)} \log \frac{q(\mathbf{x}_T|\mathbf{x}_0)}{p_\theta(\mathbf{x}_T)} \\ &= -\log p_\theta(\mathbf{x}_0) + D_{KL}(q(\mathbf{x}_{1:T}|\mathbf{x}_0) \parallel p_\theta(\mathbf{x}_{1:T}|\mathbf{x}_0)) + \mathbb{E}_{q(\mathbf{x}_1|\mathbf{x}_0)} \log p_\theta(\mathbf{x}_0|\mathbf{x}_1) - D_{KL}(q(\mathbf{x}_T|\mathbf{x}_0) \parallel p_\theta(\mathbf{x}_T)) \end{aligned}$$

这个结果有四项

- 第一项是我们想要最小化的负对数似然
- 第二项是非负的KL散度
- 第三项是从  $\mathbf{x}_1$  重建  $\mathbf{x}_0$  的交叉熵损失
- 第四项是常量，约束后验  $q(\mathbf{x}_T|\mathbf{x}_0)$  和先验  $p_\theta(\mathbf{x}_T)$  保持一致

整理可得

$$\begin{aligned}\log p_{\theta}(\mathbf{x}_0) &\geq \log p_{\theta}(\mathbf{x}_0) - D_{KL}(q(\mathbf{x}_{1:T}|\mathbf{x}_0) \parallel p_{\theta}(\mathbf{x}_{1:T}|\mathbf{x}_0)) \\ &= \underbrace{\mathbb{E}_{q(\mathbf{x}_1|\mathbf{x}_0)} \log p_{\theta}(\mathbf{x}_0|\mathbf{x}_1)}_{\text{reconstruction term}, L_0} - \underbrace{\sum_{t=2}^T \mathbb{E}_{q(\mathbf{x}_t|\mathbf{x}_0)} D_{KL}(q(\mathbf{x}_{t-1}|\mathbf{x}_t, \mathbf{x}_0) \parallel p_{\theta}(\mathbf{x}_{t-1}|\mathbf{x}_t))}_{\text{denoising matching term}, L_{t-1}} - \underbrace{D_{KL}(q(\mathbf{x}_T|\mathbf{x}_0) \parallel p_{\theta}(\mathbf{x}_T))}_{\text{prior matching term}, L_T}\end{aligned}$$

此结果即为变分下界VLB (Variational Lower Bound) , 也叫ELBO (Evidence Lower Bound)

- 一个等价 (但推导反向相反) 的证明可以参见[lilianweng的整理](#), 那一形式在论文中更为常见, 直接从隐变量条件分布的变分下界开始推导, 能得到一样的结论
- 需要注意的是, 从变分下界开始的推导 (即上述等价的反向推导) 能够快速直接写出具体的形式, 也能够以简洁的形式表达出变分下界的意义, 事实上很多论文会用它

这里最后一项 $L_T$ 为常量, 只要优化前两项, 就能实现VLB的优化

接下来, 我们分别看 $L_0$ 和 $L_{t-1}$ 的具体形式

## 计算denoising matching term

首先计算KL散度项, 由于 $q(\mathbf{x}_{t-1}|\mathbf{x}_t)$ 是个高斯分布, 所以可以定义

$$q(\mathbf{x}_{t-1}|\mathbf{x}_t, \mathbf{x}_0) = \mathcal{N}(\mathbf{x}_{t-1}; \tilde{\mu}_t(\mathbf{x}_t, \mathbf{x}_0), \tilde{\beta}_t \mathbf{I})$$

同时, 我们还有参数化的高斯分布

$$p_{\theta}(\mathbf{x}_{t-1}|\mathbf{x}_t) = \mathcal{N}(\mathbf{x}_{t-1}; \mu_{\theta}(\mathbf{x}_t, t), \Sigma_{\theta}(\mathbf{x}_t, t))$$

这里DDPM将 $\Sigma_{\theta}(\mathbf{x}_t, t)$ 人为设置为一个和时间步相关的常量 $\sigma_t^2$ , 这个常量可以是 $\sigma_t^2 = \beta_t$ , 也可以是下面求得的 $\sigma_t^2 = \tilde{\beta}_t = \frac{1-\bar{\alpha}_t}{1-\bar{\alpha}_1} \beta_t$ , 两者在实验上有着类似的结果, 以下使用 $\sigma_t^2 = \tilde{\beta}_t = \frac{1-\bar{\alpha}_t}{1-\bar{\alpha}_1} \beta_t$ 推导

- 这两个值的选取实际上对应于[DPM论文](#)中reverse process entropy的上界和下界, 即在论文2.6节所提的

$$\mathcal{H}_q(\mathbf{X}^{(t)}|\mathbf{X}^{(t-1)}) + \mathcal{H}_q(\mathbf{X}^{(t-1)}|\mathbf{X}^{(0)}) - \mathcal{H}_q(\mathbf{X}^{(t)}|\mathbf{X}^{(0)}) \leq \mathcal{H}_q(\mathbf{X}^{(t-1)}|\mathbf{X}^{(t)}) \leq \mathcal{H}_q(\mathbf{X}^{(t)}|\mathbf{X}^{(t-1)})$$

- 这里下界是 $q(\mathbf{x}_{t-1}|\mathbf{x}_t, \mathbf{x}_0)$ 的熵, 而上界是 $q(\mathbf{x}_t|\mathbf{x}_{t-1})$ 的熵, 它们都是已知的高斯分布
- 对于任意 $D$ 元高斯分布 $p(\mathbf{x}) = \mathcal{N}(\mathbf{x}; \mu, \Sigma)$ , 可以[求得其熵](#)

$$\begin{aligned}\mathcal{H}_p(\mathbf{x}) &= - \int p(\mathbf{x}) \log p(\mathbf{x}) d\mathbf{x} \\ &= - \mathbb{E}_p \log \left( (2\pi)^{-D/2} |\Sigma|^{-1/2} \exp \left( -\frac{1}{2} (\mathbf{x} - \mu)^{\top} \Sigma^{-1} (\mathbf{x} - \mu) \right) \right) \\ &= \frac{D}{2} \log(2\pi) + \frac{1}{2} \log |\Sigma| + \frac{1}{2} \mathbb{E}_p \left( (\mathbf{x} - \mu)^{\top} \Sigma^{-1} (\mathbf{x} - \mu) \right) \\ &= \frac{D}{2} \log(2\pi) + \frac{1}{2} \log |\Sigma| + \frac{1}{2} \mathbb{E}_p \left( \text{tr} \left( (\mathbf{x} - \mu)^{\top} \Sigma^{-1} (\mathbf{x} - \mu) \right) \right) && \text{; A real number can be viewed as a 1x1 matrix.} \\ &= \frac{D}{2} \log(2\pi) + \frac{1}{2} \log |\Sigma| + \frac{1}{2} \mathbb{E}_p \left( \text{tr} \left( \Sigma^{-1} (\mathbf{x} - \mu) (\mathbf{x} - \mu)^{\top} \right) \right) && \text{; Cyclic property of the trace.} \\ &= \frac{D}{2} \log(2\pi) + \frac{1}{2} \log |\Sigma| + \frac{1}{2} \text{tr} \left( \mathbb{E}_p \left( \Sigma^{-1} (\mathbf{x} - \mu) (\mathbf{x} - \mu)^{\top} \right) \right) && \text{; Linearity of the trace.} \\ &= \frac{D}{2} \log(2\pi) + \frac{1}{2} \log |\Sigma| + \frac{1}{2} \text{tr} \left( \Sigma^{-1} \mathbb{E}_p \left( (\mathbf{x} - \mu) (\mathbf{x} - \mu)^{\top} \right) \right) \\ &= \frac{D}{2} \log(2\pi) + \frac{1}{2} \log |\Sigma| + \frac{1}{2} \text{tr} \left( \Sigma^{-1} \Sigma \right) \\ &= \frac{D}{2} \log(2\pi) + \frac{1}{2} \log |\Sigma| + \frac{1}{2} \text{tr} \mathbf{I}\end{aligned}$$

- Cyclic property of the trace
  - $\text{tr}(\mathbf{ABC}) = \text{tr}(\mathbf{BCA}) = \text{tr}(\mathbf{CAB})$
- Linearity of the trace

$$\text{E}[\text{tr}(A)] = \text{E}[\sum_{i=1}^n a_{ii}] = \sum_{i=1}^n \text{E}[a_{ii}] = \text{tr} \left( \begin{bmatrix} \text{E}[a_{11}] & \dots & \text{E}[a_{1n}] \\ \vdots & \ddots & \vdots \\ \text{E}[a_{n1}] & \dots & \text{E}[a_{nn}] \end{bmatrix} \right) = \text{tr}(\text{E}[A]) .$$

- 注意到结果只和协方差 $\Sigma$ 相关, 从而到达上界时方差对应正向过程 $q(\mathbf{x}_t|\mathbf{x}_{t-1})$ 方差 $\sigma_t^2 = \beta_t$ , 到达下界时方差对应条件为 $\mathbf{x}_0$ 的反向过程 $q(\mathbf{x}_{t-1}|\mathbf{x}_t, \mathbf{x}_0)$ 方差 $\sigma_t^2 = \tilde{\beta}_t$

接下来计算具体参数，由于 $q(\mathbf{x}_t|\mathbf{x}_{t-1}) = \mathcal{N}(\mathbf{x}_t; \sqrt{\alpha_t}\mathbf{x}_{t-1}, \beta_t\mathbf{I})$ ， $q(\mathbf{x}_t|\mathbf{x}_0) = \mathcal{N}(\mathbf{x}_t; \sqrt{\bar{\alpha}_t}\mathbf{x}_0, (1 - \bar{\alpha}_t)\mathbf{I})$ ，假设所求高斯分布为 $D$ 元高斯分布

$$\begin{aligned}
q(\mathbf{x}_{t-1}|\mathbf{x}_t, \mathbf{x}_0) &= \frac{q(\mathbf{x}_t|\mathbf{x}_{t-1})q(\mathbf{x}_{t-1}|\mathbf{x}_0)}{q(\mathbf{x}_t|\mathbf{x}_0)} \\
&= \frac{\frac{1}{(2\pi)^{D/2}(\beta_t)^{D/2}} \exp\left(-\frac{(\mathbf{x}_t - \sqrt{1-\beta_t}\mathbf{x}_{t-1})^2}{2\beta_t}\right) \frac{1}{(2\pi)^{D/2}(1-\bar{\alpha}_{t-1})^{D/2}} \exp\left(-\frac{(\mathbf{x}_{t-1} - \sqrt{\bar{\alpha}_{t-1}}\mathbf{x}_0)^2}{2(1-\bar{\alpha}_{t-1})}\right)}{\frac{1}{(2\pi)^{D/2}(1-\bar{\alpha}_t)^{D/2}} \exp\left(-\frac{(\mathbf{x}_t - \sqrt{\bar{\alpha}_t}\mathbf{x}_0)^2}{2(1-\bar{\alpha}_t)}\right)} \\
&= \frac{1}{(2\pi)^{D/2}(\frac{1-\bar{\alpha}_{t-1}}{1-\bar{\alpha}_t}\beta_t)^{D/2}} \exp\left(-\frac{1}{2}\left(\frac{(\mathbf{x}_t - \sqrt{\alpha_t}\mathbf{x}_{t-1})^2}{\beta_t} + \frac{(\mathbf{x}_{t-1} - \sqrt{\bar{\alpha}_{t-1}}\mathbf{x}_0)^2}{1-\bar{\alpha}_{t-1}} - \frac{(\mathbf{x}_t - \sqrt{\bar{\alpha}_t}\mathbf{x}_0)^2}{1-\bar{\alpha}_t}\right)\right) \\
&= \frac{1}{(2\pi)^{D/2}(\frac{1-\bar{\alpha}_{t-1}}{1-\bar{\alpha}_t}\beta_t)^{D/2}} \exp\left(-\frac{1}{2}\left(\frac{\mathbf{x}_t^2 - 2\sqrt{\alpha_t}\mathbf{x}_t\mathbf{x}_{t-1} + \alpha_t\mathbf{x}_{t-1}^2}{\beta_t} + \frac{\mathbf{x}_{t-1}^2 - 2\sqrt{\bar{\alpha}_{t-1}}\mathbf{x}_0\mathbf{x}_{t-1} + \bar{\alpha}_{t-1}\mathbf{x}_0^2}{1-\bar{\alpha}_{t-1}} - \frac{(\mathbf{x}_t - \sqrt{\bar{\alpha}_t}\mathbf{x}_0)^2}{1-\bar{\alpha}_t}\right)\right) \\
&= \frac{1}{(2\pi)^{D/2}(\frac{1-\bar{\alpha}_{t-1}}{1-\bar{\alpha}_t}\beta_t)^{D/2}} \exp\left(-\frac{1}{2}\left(\left(\frac{\alpha_t}{\beta_t} + \frac{1}{1-\bar{\alpha}_{t-1}}\right)\mathbf{x}_{t-1}^2 - \left(\frac{2\sqrt{\alpha_t}}{\beta_t}\mathbf{x}_t + \frac{2\sqrt{\bar{\alpha}_{t-1}}}{1-\bar{\alpha}_{t-1}}\mathbf{x}_0\right)\mathbf{x}_{t-1} + C(\mathbf{x}_t, \mathbf{x}_0)\right)\right)
\end{aligned}$$

其中 $C(\mathbf{x}_t, \mathbf{x}_0)$ 在均值和方差的计算中不需要，故略去

整理成高斯分布概率密度函数可得

$$\begin{aligned}
\tilde{\beta}_t &= 1/\left(\frac{\alpha_t}{\beta_t} + \frac{1}{1-\bar{\alpha}_{t-1}}\right) = 1/\left(\frac{\alpha_t - \bar{\alpha}_t + \beta_t}{\beta_t(1-\bar{\alpha}_{t-1})}\right) = \frac{1-\bar{\alpha}_{t-1}}{1-\bar{\alpha}_t} \cdot \beta_t \\
\tilde{\mu}_t(\mathbf{x}_t, \mathbf{x}_0) &= \left(\frac{\sqrt{\alpha_t}}{\beta_t}\mathbf{x}_t + \frac{\sqrt{\bar{\alpha}_{t-1}}}{1-\bar{\alpha}_{t-1}}\mathbf{x}_0\right) / \left(\frac{\alpha_t}{\beta_t} + \frac{1}{1-\bar{\alpha}_{t-1}}\right) \\
&= \left(\frac{\sqrt{\alpha_t}}{\beta_t}\mathbf{x}_t + \frac{\sqrt{\bar{\alpha}_{t-1}}}{1-\bar{\alpha}_{t-1}}\mathbf{x}_0\right) \frac{1-\bar{\alpha}_{t-1}}{1-\bar{\alpha}_t} \cdot \beta_t \\
&= \frac{\sqrt{\alpha_t}(1-\bar{\alpha}_{t-1})}{1-\bar{\alpha}_t}\mathbf{x}_t + \frac{\sqrt{\bar{\alpha}_{t-1}}\beta_t}{1-\bar{\alpha}_t}\mathbf{x}_0
\end{aligned}$$

现在，我们有了 $q(\mathbf{x}_{t-1}|\mathbf{x}_t, \mathbf{x}_0) = \mathcal{N}(\mathbf{x}_{t-1}; \tilde{\mu}(\mathbf{x}_t, \mathbf{x}_0), \tilde{\beta}_t\mathbf{I})$ ， $p_\theta(\mathbf{x}_{t-1}|\mathbf{x}_t) = \mathcal{N}(\mathbf{x}_{t-1}; \mu_\theta(\mathbf{x}_t, t), \sigma_t^2\mathbf{I}) = \mathcal{N}(\mathbf{x}_{t-1}; \mu_\theta(\mathbf{x}_t, t), \tilde{\beta}_t\mathbf{I})$ ，所以可以直接计算KL散度了

- 对于多元 $D$ 维高斯分布 $p_1(\mathbf{x}) = \mathcal{N}(\mathbf{x}; \mu_1, \Sigma_1)$ ， $p_2(\mathbf{x}) = \mathcal{N}(\mathbf{x}; \mu_2, \Sigma_2)$ ，它们之间的KL散度为

$$\begin{aligned}
D_{KL}(p_1(\mathbf{x}) \parallel p_2(\mathbf{x})) &= \int p_1(\mathbf{x}) \frac{\log p_1(\mathbf{x})}{\log p_2(\mathbf{x})} d\mathbf{x} \\
&= \mathbb{E}_{p_1} \left( \log p_1(\mathbf{x}) - \log p_2(\mathbf{x}) \right) \\
&= \mathbb{E}_{p_1} \left( -\frac{1}{2} \log |\Sigma_1| - \frac{1}{2} (\mathbf{x} - \mu_1)^\top \Sigma_1^{-1} (\mathbf{x} - \mu_1) + \frac{1}{2} \log |\Sigma_2| + \frac{1}{2} (\mathbf{x} - \mu_2)^\top \Sigma_2^{-1} (\mathbf{x} - \mu_2) \right) \\
&= \frac{1}{2} \log \frac{|\Sigma_2|}{|\Sigma_1|} - \frac{1}{2} \mathbb{E}_{p_1} \left( (\mathbf{x} - \mu_1)^\top \Sigma_1^{-1} (\mathbf{x} - \mu_1) \right) + \frac{1}{2} \mathbb{E}_{p_1} \left( (\mathbf{x} - \mu_2)^\top \Sigma_2^{-1} (\mathbf{x} - \mu_2) \right) \\
&= \frac{1}{2} \log \frac{|\Sigma_2|}{|\Sigma_1|} - \frac{1}{2} \mathbb{E}_{p_1} \left( \text{tr} \left( (\mathbf{x} - \mu_1)^\top \Sigma_1^{-1} (\mathbf{x} - \mu_1) \right) \right) + \frac{1}{2} \mathbb{E}_{p_1} \left( \text{tr} \left( (\mathbf{x} - \mu_2)^\top \Sigma_2^{-1} (\mathbf{x} - \mu_2) \right) \right) \\
&= \frac{1}{2} \log \frac{|\Sigma_2|}{|\Sigma_1|} - \frac{1}{2} \mathbb{E}_{p_1} \left( \text{tr} \left( \Sigma_1^{-1} (\mathbf{x} - \mu_1) (\mathbf{x} - \mu_1)^\top \right) \right) + \frac{1}{2} \mathbb{E}_{p_1} \left( \text{tr} \left( \Sigma_2^{-1} (\mathbf{x} - \mu_2) (\mathbf{x} - \mu_2)^\top \right) \right) \\
&= \frac{1}{2} \log \frac{|\Sigma_2|}{|\Sigma_1|} - \frac{1}{2} \text{tr} \left( \Sigma_1^{-1} \mathbb{E}_{p_1} \left( (\mathbf{x} - \mu_1) (\mathbf{x} - \mu_1)^\top \right) \right) + \frac{1}{2} \text{tr} \left( \Sigma_2^{-1} \mathbb{E}_{p_1} \left( (\mathbf{x} - \mu_2) (\mathbf{x} - \mu_2)^\top \right) \right) \\
&= \frac{1}{2} \log \frac{|\Sigma_2|}{|\Sigma_1|} - \frac{1}{2} \text{tr} \left( \Sigma_1^{-1} \Sigma_1 \right) + \frac{1}{2} \text{tr} \left( \Sigma_2^{-1} \mathbb{E}_{p_1} (\mathbf{x}\mathbf{x}^\top - \mu_2\mathbf{x}^\top - \mathbf{x}\mu_2^\top + \mu_2\mu_2^\top) \right) \\
&= \frac{1}{2} \log \frac{|\Sigma_2|}{|\Sigma_1|} - \frac{1}{2} \text{tr} \mathbf{I} + \frac{1}{2} \text{tr} \left( \Sigma_2^{-1} (\Sigma_1 + \mu_1\mu_1^\top - \mu_2\mu_1^\top - \mu_1\mu_2^\top + \mu_2\mu_2^\top) \right) \\
&= \frac{1}{2} \log \frac{|\Sigma_2|}{|\Sigma_1|} - \frac{D}{2} + \frac{1}{2} \text{tr} \left( \Sigma_2^{-1} \Sigma_1 \right) + \frac{1}{2} \text{tr} \left( \Sigma_2^{-1} \mu_1\mu_1^\top - \Sigma_2^{-1} \mu_2\mu_1^\top - \Sigma_2^{-1} \mu_1\mu_2^\top + \Sigma_2^{-1} \mu_2\mu_2^\top \right) \\
&= \frac{1}{2} \log \frac{|\Sigma_2|}{|\Sigma_1|} - \frac{D}{2} + \frac{1}{2} \text{tr} \left( \Sigma_2^{-1} \Sigma_1 \right) + \frac{1}{2} \text{tr} \left( \mu_1^\top \Sigma_2^{-1} \mu_1 - \mu_1^\top \Sigma_2^{-1} \mu_2 - \mu_2^\top \Sigma_2^{-1} \mu_1 + \mu_2^\top \Sigma_2^{-1} \mu_2 \right) \\
&= \frac{1}{2} \log \frac{|\Sigma_2|}{|\Sigma_1|} - \frac{D}{2} + \frac{1}{2} \text{tr} \left( \Sigma_2^{-1} \Sigma_1 \right) + \frac{1}{2} \text{tr} \left( (\mu_2 - \mu_1)^\top \Sigma_2^{-1} (\mu_2 - \mu_1) \right) \\
&= \frac{1}{2} \log \frac{|\Sigma_2|}{|\Sigma_1|} - \frac{D}{2} + \frac{1}{2} \text{tr} \left( \Sigma_2^{-1} \Sigma_1 \right) + \frac{1}{2} (\mu_2 - \mu_1)^\top \Sigma_2^{-1} (\mu_2 - \mu_1)
\end{aligned}$$

$$\begin{aligned}
\Sigma &= \mathbb{E}((\mathbf{x} - \mu)(\mathbf{x} - \mu)^\top) \\
&= \mathbb{E}(\mathbf{x}\mathbf{x}^\top - \mu\mathbf{x}^\top - \mathbf{x}\mu^\top + \mu\mu^\top) \\
&= \mathbb{E}(\mathbf{x}\mathbf{x}^\top) - \mu\mu^\top - \mu\mu^\top + \mu\mu^\top \\
&= \mathbb{E}(\mathbf{x}\mathbf{x}^\top) - \mu\mu^\top \\
\Rightarrow \mathbb{E}(\mathbf{x}\mathbf{x}^\top) &= \Sigma + \mu\mu^\top
\end{aligned}$$

因此，要求的KL散度为

$$\begin{aligned}
L_{t-1} &= D_{KL}(q(\mathbf{x}_{t-1}|\mathbf{x}_t, \mathbf{x}_0) \parallel p_\theta(\mathbf{x}_{t-1}|\mathbf{x}_t)) \\
&= D_{KL}(\mathcal{N}(\mathbf{x}_{t-1}; \tilde{\mu}_t(\mathbf{x}_t, \mathbf{x}_0), \tilde{\beta}_t \mathbf{I}) \parallel \mathcal{N}(\mathbf{x}_{t-1}; \mu_\theta(\mathbf{x}_t, t), \tilde{\beta}_t \mathbf{I})) \\
&= \frac{1}{2} \left( \log \frac{|\tilde{\beta}_t \mathbf{I}|}{|\tilde{\beta}_t \mathbf{I}|} - D + \text{tr}((\tilde{\beta}_t \mathbf{I})^{-1}(\tilde{\beta}_t \mathbf{I})) + (\mu_\theta - \tilde{\mu}_t)(\tilde{\beta}_t \mathbf{I})^{-1}(\mu_\theta - \tilde{\mu}_t)^\top \right) \\
&= \frac{1}{2} \left( -D + D + (\mu_\theta - \tilde{\mu}_t)^\top (\tilde{\beta}_t \mathbf{I})^{-1} (\mu_\theta - \tilde{\mu}_t) \right) \\
&= \frac{1}{2\tilde{\beta}_t} \left( (\mu_\theta - \tilde{\mu}_t)^\top (\mu_\theta - \tilde{\mu}_t) \right) \\
&= \frac{1}{2\tilde{\beta}_t} \|\mu_\theta - \tilde{\mu}_t\|^2
\end{aligned}$$

由于我们已知了 $\tilde{\mu}_t(\mathbf{x}_t, \mathbf{x}_0)$ 的形式，所以我们可以假定 $\mu_\theta(\mathbf{x}_t, t)$ 具有同样的形式，DPM中使用的是 $\tilde{\mu}_t(\mathbf{x}_t, \mathbf{x}_0) = \frac{\sqrt{\alpha_t}(1-\bar{\alpha}_{t-1})}{1-\bar{\alpha}_t} \mathbf{x}_t + \frac{\sqrt{\bar{\alpha}_{t-1}}\beta_t}{1-\bar{\alpha}_t} \mathbf{x}_0$ ，从而 $\mu_\theta(\mathbf{x}_t, t) = \frac{\sqrt{\alpha_t}(1-\bar{\alpha}_{t-1})}{1-\bar{\alpha}_t} \mathbf{x}_t + \frac{\sqrt{\bar{\alpha}_{t-1}}\beta_t}{1-\bar{\alpha}_t} \mathbf{x}_\theta(\mathbf{x}_t, t)$ ，这种方式方差较大，生成效果较差；而直接学习一个 $\mu_\theta$ 来估计 $\tilde{\mu}_t$ 也是可行的；但是DDPM通过引入重参数化技巧进一步简化了优化目标

由于 $\mathbf{x}_t = \sqrt{\bar{\alpha}_t} \mathbf{x}_0 + \sqrt{1 - \bar{\alpha}_t} \bar{\epsilon}_t$ ， $\bar{\epsilon}_t \sim \mathcal{N}(\mathbf{0}, \mathbf{I})$ ，所以有 $\mathbf{x}_0 = \frac{1}{\sqrt{\bar{\alpha}_t}}(\mathbf{x}_t - \sqrt{1 - \bar{\alpha}_t} \bar{\epsilon}_t)$ ，进而 $\tilde{\mu}_t(\mathbf{x}_t, \mathbf{x}_0)$ 可以进一步化简

$$\begin{aligned}
\tilde{\mu}_t &= \frac{\sqrt{\alpha_t}(1 - \bar{\alpha}_{t-1})}{1 - \bar{\alpha}_t} \mathbf{x}_t + \frac{\sqrt{\bar{\alpha}_{t-1}}\beta_t}{1 - \bar{\alpha}_t} \frac{1}{\sqrt{\bar{\alpha}_t}} (\mathbf{x}_t - \sqrt{1 - \bar{\alpha}_t} \bar{\epsilon}_t) \\
&= \frac{1}{\sqrt{\alpha_t}} \left( \mathbf{x}_t - \frac{1 - \alpha_t}{\sqrt{1 - \bar{\alpha}_t}} \bar{\epsilon}_t \right)
\end{aligned}$$

于是DDPM使用了 $\mu_\theta(\mathbf{x}_t, t) = \frac{1}{\sqrt{\alpha_t}} \left( \mathbf{x}_t - \frac{1 - \alpha_t}{\sqrt{1 - \bar{\alpha}_t}} \epsilon_\theta(\mathbf{x}_t, t) \right)$ ，从而 $L_{t-1}$ 可以进一步推导

$$\begin{aligned}
L_{t-1} &= \frac{1}{2\tilde{\beta}_t} \|\mu_\theta - \tilde{\mu}_t\|^2 \\
&= \frac{1}{2\tilde{\beta}_t} \left\| \frac{1}{\sqrt{\alpha_t}} \left( \mathbf{x}_t - \frac{1 - \alpha_t}{\sqrt{1 - \bar{\alpha}_t}} \epsilon_\theta(\mathbf{x}_t, t) \right) - \frac{1}{\sqrt{\alpha_t}} \left( \mathbf{x}_t - \frac{1 - \alpha_t}{\sqrt{1 - \bar{\alpha}_t}} \bar{\epsilon}_t \right) \right\|^2 \\
&= \frac{\beta_t^2}{2\tilde{\beta}_t \alpha_t (1 - \bar{\alpha}_t)} \left\| \epsilon_\theta(\mathbf{x}_t, t) - \bar{\epsilon}_t \right\|^2 \\
&= \frac{\beta_t^2}{2\tilde{\beta}_t \alpha_t (1 - \bar{\alpha}_t)} \left\| \epsilon_\theta(\sqrt{\bar{\alpha}_t} \mathbf{x}_0 + \sqrt{1 - \bar{\alpha}_t} \bar{\epsilon}_t, t) - \bar{\epsilon}_t \right\|^2
\end{aligned}$$

## 计算reconstruction term

接下来看看 $L_0$ 如何计算

DDPM对 $L_0$ 的设计着重于设计一种对于离散数据（0~255表示的图像）而言无损的压缩编码（lossless codelength）方式，并直接计算了似然

具体而言，DDPM首先假设图像被映射到了 $[-1, 1]$ 区间，因此将样本 $\mathbf{x}_0$ 的似然使用 $\mathbf{x}_0$ 附近的一个小区间内的积分来定义，每个维度（ $D$ 维）认为是独立并单独计算

$$\begin{aligned}
p_\theta(\mathbf{x}_0|\mathbf{x}_1) &= \prod_{i=1}^D \int_{\delta_-(x_0^i)}^{\delta_+(x_0^i)} \mathcal{N}(x; \mu_\theta^i(\mathbf{x}_1, 1), \delta_1^2) dx \\
\delta_+(x) &= \begin{cases} \infty & \text{if } x = 1 \\ x + \frac{1}{255} & \text{if } x < 1 \end{cases} & \delta_-(x) &= \begin{cases} -\infty & \text{if } x = -1 \\ x - \frac{1}{255} & \text{if } x > -1 \end{cases}
\end{aligned}$$

这一似然只需要在训练时计算，在采样时就不再需要了，采样时直接以 $\mu_\theta(\mathbf{x}_1, 1)$ 作为最终结果，这等价于采样最后一步不添加噪声

## Simplified training objective

虽然变分下界可以直接优化，但是DDPM选择了形式上和实现上都更加简单的优化目标，注意以下目标损失实际上包含了从 $\mathbf{x}_0$ 到 $\mathbf{x}_T$ 所有的 $T$ 步，注意此处的 $\epsilon$ 相当于上述推导中的 $\bar{\epsilon}_t$

$$L_{simple}(\theta) = \mathbb{E}_{t, \mathbf{x}_0, \epsilon} \left[ \left\| \epsilon - \epsilon_{\theta}(\sqrt{\bar{\alpha}_t} \mathbf{x}_0 + \sqrt{1 - \bar{\alpha}_t} \epsilon, t) \right\|^2 \right]$$

其中 $t$ 从1到 $T$ 均匀采样

$t = 1$ 对应于 $L_0$ ，但应该只是个简单的对应

$t > 1$ 实际上是去掉系数后的 $L_{t-1}$ 和NCSN denoising **score matching** model的loss weighting做法类似

$t = T$ 不需要优化，所以没出现

### Algorithm 1 Training

```

1: repeat
2:    $\mathbf{x}_0 \sim q(\mathbf{x}_0)$ 
3:    $t \sim \text{Uniform}(\{1, \dots, T\})$ 
4:    $\epsilon \sim \mathcal{N}(\mathbf{0}, \mathbf{I})$ 
5:   Take gradient descent step on
        $\nabla_{\theta} \left\| \epsilon - \epsilon_{\theta}(\sqrt{\bar{\alpha}_t} \mathbf{x}_0 + \sqrt{1 - \bar{\alpha}_t} \epsilon, t) \right\|^2$ 
6: until converged
  
```

### Algorithm 2 Sampling

```

1:  $\mathbf{x}_T \sim \mathcal{N}(\mathbf{0}, \mathbf{I})$ 
2: for  $t = T, \dots, 1$  do
3:    $\mathbf{z} \sim \mathcal{N}(\mathbf{0}, \mathbf{I})$  if  $t > 1$ , else  $\mathbf{z} = \mathbf{0}$ 
4:    $\mathbf{x}_{t-1} = \frac{1}{\sqrt{\alpha_t}} \left( \mathbf{x}_t - \frac{1 - \alpha_t}{\sqrt{1 - \bar{\alpha}_t}} \epsilon_{\theta}(\mathbf{x}_t, t) \right) + \sigma_t \mathbf{z}$ 
5: end for
6: return  $\mathbf{x}_0$ 
  
```

[image]

## 采样过程

采样过程实际上就是 $\mathbf{x}_{t-1} = \tilde{\mu}_t + \sigma_t \mathbf{z}$

为什么采样过程不能 $\mathbf{x}_0 = \frac{1}{\sqrt{\bar{\alpha}_t}} (\mathbf{x}_t - \sqrt{1 - \bar{\alpha}_t} \epsilon_{\theta}(\mathbf{x}_t, t))$ 一步得到？一是为了保持采样过程的一阶马尔可夫性，防止生成的分布偏移；二是为了引入噪声，增大采样的多样性

## 实验相关

DDPM的实验在CIFAR10 ( Inception scores, FID scores, nll/lossless codelengths ) , CelebA-HQ  $256 \times 256$  , LSUM  $256 \times 256$  上进行

直接优化VLB时codelength最好（显然），但是生成质量上用simplified objective好

可以在latent space插值，再denoise回样本空间！

The choice of the scheduling function can be arbitrary, as long as it provides a near-linear drop in the middle of the training process and subtle changes around  $t = 0$  and  $t = T$ .